

# Clase 10

Gabriela Navarro

## Módulo de Teoría Filial Física de Partículas

27 de abril 2023



Latin American alliance for  
Capacity building in Advanced physics  
**LA-CoNGA physics**



Cofinanciado por el  
programa Erasmus+  
de la Unión Europea





## Principio de gauge local

- La idea de la invariancia de gauge es familiar si recordamos el caso del electromagnetismo -> los **campos físicos**  $\vec{E}$  y  $\vec{B}$  (que se obtienen de los potenciales escalar  $\phi$  y vectorial  $\vec{A}$ ) no cambian frente a una transformación de gauge:

$$\phi \rightarrow \phi' = \phi - \frac{\partial \chi}{\partial t} \quad \text{y} \quad \vec{A} \rightarrow \vec{A}' = \vec{A} + \vec{\nabla} \chi \quad A_\mu \rightarrow A'_\mu = A_\mu - \partial_\mu \chi$$

$$A_\mu = (\phi, -\vec{A})$$

$$\partial_\mu = (\partial_0, \vec{\nabla})$$

- En mecánica cuántica relativista -> la invariancia de gauge del electromagnetismo está relacionada con un principio local de gauge.
- Consideremos una simetría fundamental del Universo que requiere invariancia frente a las transformaciones locales de fase:

$$\psi(x) \rightarrow \psi'(x) = e^{iq\chi(x)}\psi(x)$$

Similar a la transformación global de fase U(1), sólo que aquí la fase depende de la posición en el espacio-tiempo.



## Principio de gauge local

$$\psi(x) \rightarrow \psi'(x) = e^{iq\chi(x)}\psi(x)$$

- Para esta transformación **local** la ecuación de partícula libre de Dirac se vuelve:

$$i\gamma^\mu \partial_\mu \psi = m\psi \rightarrow i\gamma^\mu (\partial_\mu + \underbrace{iq\partial_\mu \chi}_{\text{Aparece este término}}) \psi = m\psi$$

Aparece este término

La ecuación de partícula libre de Dirac no posee esta invariancia de transformación de fase local.

- La invariancia local de fase no es posible para la teoría libre, sin interacciones.
- La invariancia se puede establecer sólo si se modifica la ecuación de Dirac incluyendo un nuevo grado de libertad  $A_\mu$ , tal que:

$$i\gamma_\mu (\partial_\mu + iqA_\mu) \psi - m\psi = 0$$

$A_\mu$  será interpretado como el campo correspondiente al bosón de gauge sin masa



## Principio de gauge local

$$i\gamma_\mu(\partial_\mu + iqA_\mu)\psi - m\psi = 0$$

- Esta ecuación es invariante frente a transformaciones de fase locales si:

$$A_\mu \rightarrow A'_\mu = A_\mu - \partial_\mu\chi$$

- Es necesario introducir un nuevo campo y la ecuación de Dirac modificada tiene ahora el término de interacción  $q\gamma^\mu A_\mu\psi$  (idéntico al término de interacción de QED).
- QED corresponde a una simetría de gauge local U(1) del Universo.
- La simetría subyacente asociada a la Cromodinámica Cuántica QCD (teoría cuántica de campos de la interacción fuerte) es la invariancia bajo transformaciones de fase locales de SU(3):

$$\psi(x) \rightarrow \psi'(x) = e^{ig_S\vec{\alpha}(x)\cdot\hat{T}}\psi(x)$$

$\hat{T} = \{T^a\}$  generadores del grupo de simetría SU(3)

Relacionado con las matrices de Gell-Mann:

$$T^a = \frac{1}{2}\lambda^a$$

$\alpha^a(x)$  son 8 funciones del espacio-tiempo



## Principio de gauge local

$$\psi(x) \rightarrow \psi'(x) = e^{ig_S \vec{\alpha}(x) \cdot \hat{T}} \psi(x)$$

- Como los generadores de SU(3) están representados por matrices de 3x3 -> la función de onda  $\psi$  debe incluir 3 grados de libertad adicionales que se puede representar por un vector de 3 componentes (recordar SU(3) de sabor).
- Este nuevo grado de libertad se denomina **color** y sus estados son: **rojo (r)**, **verde (g)** y **azul (b)**.
- La invariancia de gauge local se obtiene introduciendo 8 nuevos campos  $G_\mu^a$  ( $a=1,\dots,8$ ) que corresponden a los 8 generadores del grupo de simetría SU(3).
- La ecuación de Dirac que incluye las interacciones con los nuevos campos de gauge es:

$$i\gamma^\mu [\partial_\mu + ig_S G_\mu^a T^a] \psi - m\psi = 0$$

Es invariante frente a transformaciones de fase Locales de SU(3)



# Principio de gauge local

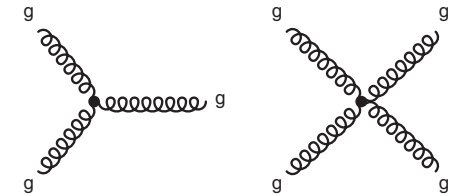
$$i\gamma^\mu [\partial_\mu + ig_S G_\mu^a T^a] \psi - m\psi = 0$$

- Los nuevos campos transforman:

$$G_\mu^k \rightarrow G_\mu^{k'} = G_\mu^k - \partial_\mu \alpha_k - g_S f_{ijk} \alpha_i G_\mu^j$$

Este término aparece porque los generadores de SU(3) no conmutan y las  $f_{ijk}$  son las constantes de estructura del grupo SU(3)  $\rightarrow [\lambda_i, \lambda_j] = 2if_{ijk}\lambda_k$

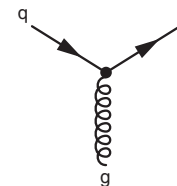
- Como los generadores del grupo SU(3) no conmutan  $\rightarrow$  QCD es una teoría de gauge no abeliana y la presencia de este término adicional implica la auto-interacción del Gluón.



- La invariancia local de gauge de SU(3) implica la incorporación de nuevos términos de interacción, uno por cada uno de los 8 generadores.

- Los 8 nuevos campos  $G^a$  corresponden a los gluones de QCD y su vértice de interacción qqq es:

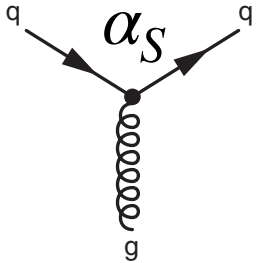
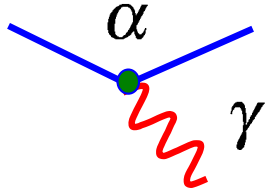
$$g_S T^a \gamma^\mu G_\mu^a \psi = g_S \frac{1}{2} \lambda^a \gamma^\mu G_\mu^a \psi$$





# Principio de gauge local

QED	QCD
<ul style="list-style-type: none"> <li>Interacción mediada por <b>fotones</b> sin masa que corresponden al generador de la simetría de gauge local U(1)</li> </ul>	Interacción mediada por 8 <b>gluones</b> sin masa que corresponden a los 8 generadores de la simetría local SU(3)
Única carga conservada: $q$	Tres cargas de color conservadas; $r, g, b$ . Sólo las partículas con carga de color distinta de 0 se acoplan a gluones.



- La simetría SU(3) de color es una simetría exacta y QCD es invariante frente a las transformaciones unitarias en el espacio de color.
- La intensidad de la interacción de QCD es independiente de la carga de color de las partículas.
- Las antipartículas cargan la carga de color opuesta a la de los quarks:  $\bar{r}, \bar{g}, \bar{b}$



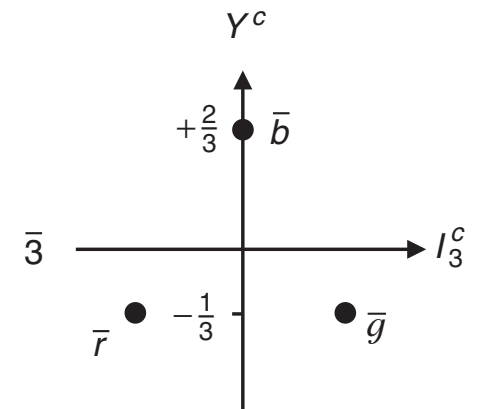
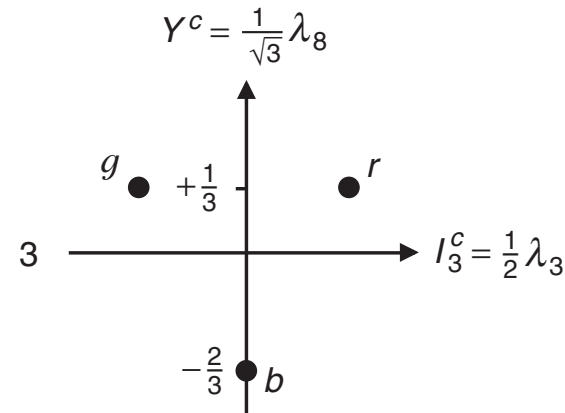
## Principio de gauge local

- Los tres estados de color son:

$$r = \begin{pmatrix} 1 \\ 0 \\ 0 \end{pmatrix} \quad g = \begin{pmatrix} 0 \\ 1 \\ 0 \end{pmatrix} \quad b = \begin{pmatrix} 0 \\ 0 \\ 1 \end{pmatrix}$$

- Los estados de color pueden ser etiquetados con dos números cuánticos aditivos:

- Tercera componente del isospín de color  $I_3^c$
- La hipercarga de color  $Y^c$



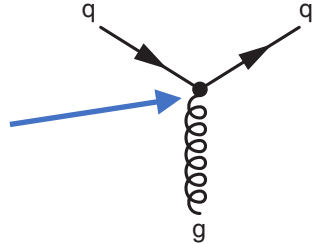




# Vértice quark-gluón

- Si comparamos el término de interacción de la QCD y el de la QED:

$$-iq\gamma^\mu A_\mu \psi \rightarrow g_S \frac{1}{2} \lambda^a \gamma^\mu G_\mu^a \psi$$

- El factor correspondiente al vértice de QCD se identifica como:  $-iq\gamma^\mu \rightarrow g_S \frac{1}{2} \lambda^a \gamma^\mu$  

- La función de onda de los quarks necesita incluir el grado de libertad de color:  $u(p) \rightarrow c_i u(p)$ :

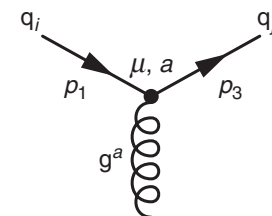
- $u(p)$  es el espinor de Dirac

- $c_i$  representa uno de los posibles estados de color

$$c_1 = r = \begin{pmatrix} 1 \\ 0 \\ 0 \end{pmatrix} \quad c_2 = g = \begin{pmatrix} 0 \\ 1 \\ 0 \end{pmatrix} \quad c_3 = b = \begin{pmatrix} 0 \\ 0 \\ 1 \end{pmatrix}$$

- La corriente de quark asociada al vértice de QCD :

$$j_q^\mu = \bar{u}(p_3) c_j^\dagger \left\{ -\frac{1}{2} i g_S \lambda^a \gamma^\mu \right\} c_i u(p_1)$$





# Vértice quark-gluón

$$j_q^\mu = \bar{u}(p_3)c_j^\dagger \left\{ -\frac{1}{2}ig_S\lambda^a\gamma^\mu \right\} c_i u(p_1)$$

- Las matrices de 3x3  $\lambda^a$  actúan sobre la función de onda de color de 3 componentes
- Las matrices de 4x4  $\gamma$  actúan sobre el spinor de Dirac de 4 componentes
- Podemos factorizar la parte de color:

$$j_q^\mu = \bar{u}(p_3)c_j^\dagger \left\{ -\frac{1}{2}ig_S\lambda^a\gamma^\mu \right\} c_i u(p_1) = -\frac{1}{2}ig_S [c_j^\dagger \lambda^a c_i] \times [\bar{u}(p_3)\gamma^\mu u(p_1)]$$

$$c_j^\dagger \lambda^a c_i = c_j^\dagger \begin{pmatrix} \lambda_{1i}^a \\ \lambda_{2i}^a \\ \lambda_{3i}^a \end{pmatrix} = \lambda_{ji}^a$$

- Podemos escribir el vértice:

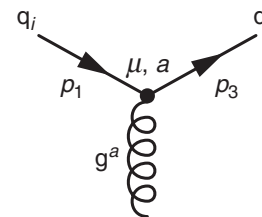
$$j_q^\mu = -\frac{1}{2}ig_S\lambda_{ji}^a [\bar{u}(p_3)\gamma^\mu u(p_1)]$$

- Regla de Feynman asociada al vértice de QCD:

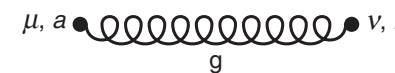
$$-\frac{1}{2}ig_S\lambda_{ji}^a\gamma^\mu$$

- La regla de Feynman para el propagador del gluón:

$$-i\frac{g_{\mu\nu}}{q^2}\delta_{ab}$$



i,j etiqueta el color de los quarks



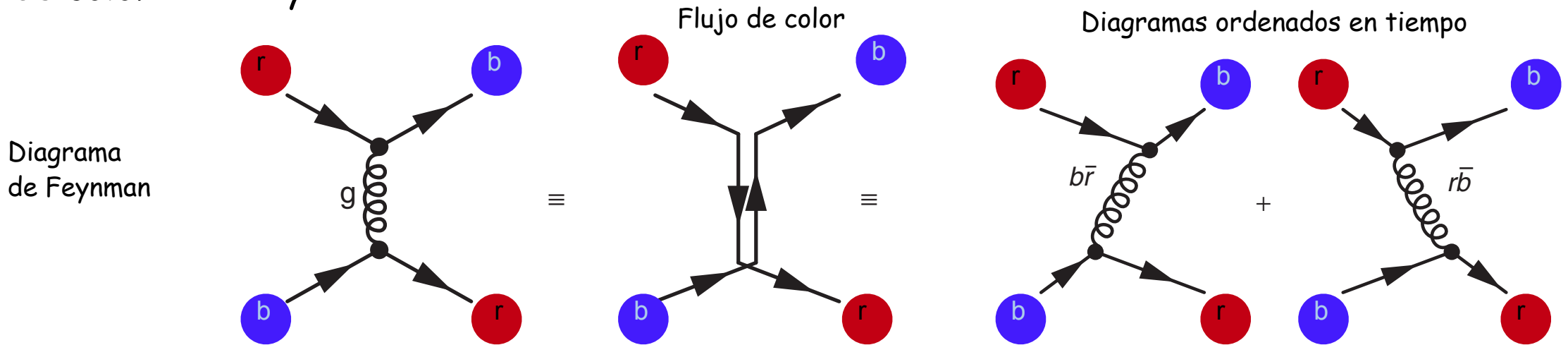


# Gluones

- Los gluones conectan estados de quark de diferente color -> para que la carga de color se conserve en el vértice -> los gluones deben llevar carga de color.

- Por ejemplo, el gluón correspondiente a  $\lambda_4$  contribuye interacciones que involucran cambios de color  $r \leftrightarrow b$  y  $b \leftrightarrow r$

$$\lambda_4 = \begin{pmatrix} 0 & 0 & 1 \\ 0 & 0 & 0 \\ 1 & 0 & 0 \end{pmatrix}$$

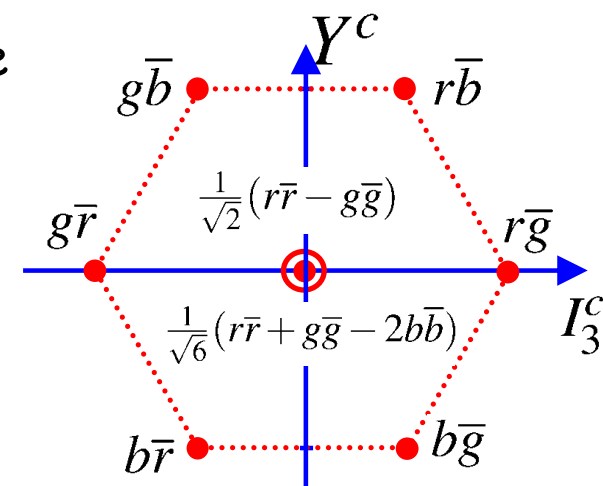


- Como la carga de color se conserva, la interacción involucra el intercambio de un gluón  $b\bar{r}$  y  $r\bar{b}$  > los gluones llevan simultáneamente carga de color y carga de anticolor.



## Gluones

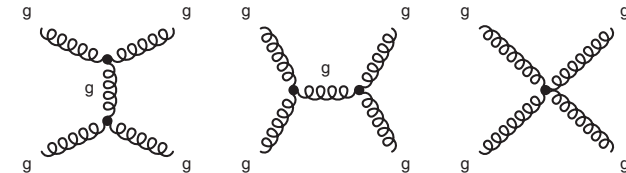
- Como los gluones llevan una combinación de color y anti-color  $\rightarrow$  hay 6 gluones con diferente color y anti-color :  $r\bar{g}, g\bar{r}, r\bar{b}, b\bar{r}, g\bar{b}, b\bar{g}$
- Podríamos esperar 3 gluones correspondientes a  $r\bar{r}, g\bar{g}, b\bar{b}$   $\rightarrow$  sin embargo los gluones físicos corresponden a los campos asociados con los generadores de  $SU(3)$   $\lambda_{1,\dots,8}$ .
- Los gluones forman un octeto de estados de color análogo a los estados de sabor mesónicos  $q\bar{q}$ .





## Confinamiento de color

- Se cree (aunque no ha sido probado aún) que todas las partículas libres observadas no tienen carga de color -> nunca se ha observado experimentalmente un quark libre (se detectaría como una partícula de carga fraccionaria).
- Esta ausencia de observación de quarks en estado libre se explica con la hipótesis del confinamiento de color:
  - Los objetos con color están siempre confinados a estados singletes de color.
  - Los objetos con carga de color distinta de 0 no se pueden propagar como partículas libres
- El confinamiento de color se cree que surge de la auto-interacción gluón-gluón que aparece porque los gluones llevan carga de color.
- Como consecuencia, los quarks están confinados a hadrones sin color.
- Los gluones que poseen carga de color, también están confinados en objetos sin color.





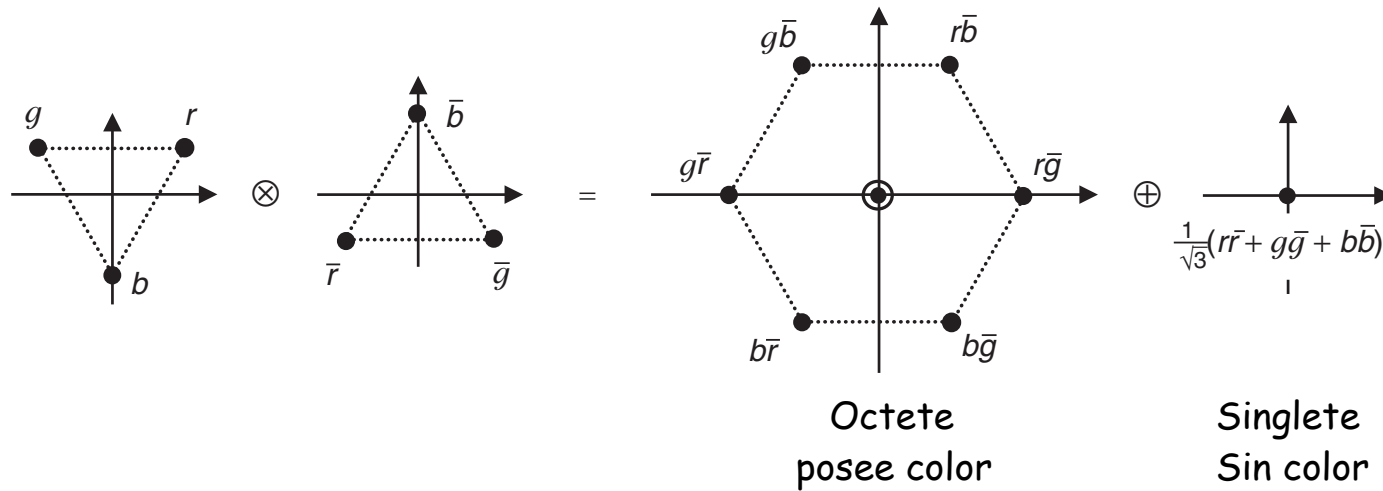
## Confinamiento de color

- El confinamiento de color implica que los quarks son siempre observados confinados en estados ligados sin color.
- Los estados singlete de color de  $SU(3)$  son combinaciones "sin color":
  - poseen números cuánticos de color  $I_3^c = Y^c = 0$  (condición necesaria pero no suficiente).
  - La acción de los operadores escalera en un estado singlete de color debe dar 0 (análogo a el estado singlete de spin "sin espín"  $|0,0\rangle$ )
- La hipótesis de confinamiento de color implica que sólo los estados singlete de color pueden existir como partículas libres -> todos los estados ligados de quarks y antiquarks deben ocurrir en singlets de color.
- El álgebra de la simetría exacta  $SU(3)$  de color es igual a la de simetría de sabor donde reemplazamos  $u \rightarrow r$ ,  $d \rightarrow g$  y  $s \rightarrow b$ .



# Confinamiento de color

- Función de onda de color de un estado ligado  $q\bar{q}$ :



Función de onda de color de un mesón

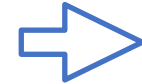
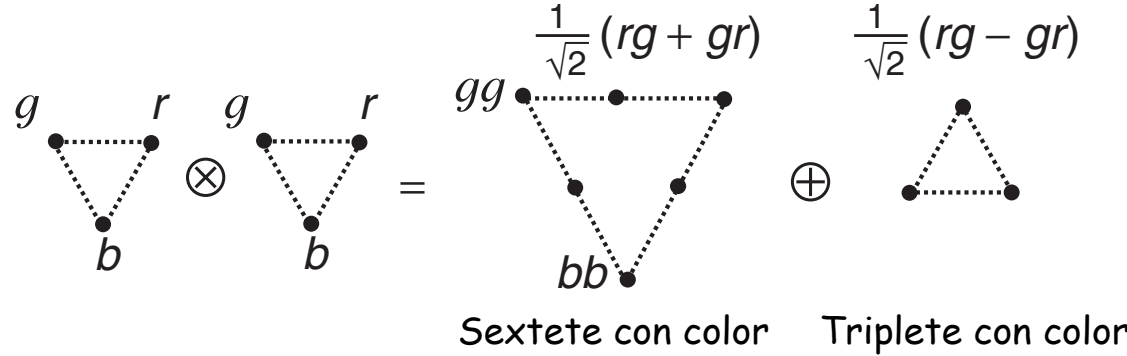
$$\psi^c(q\bar{q}) = \frac{1}{\sqrt{3}}(r\bar{r} + g\bar{g} + b\bar{b})$$

- La adición de un tercer quark o antiquark al octete o al singlete lleva a estados con  $I_3^c = Y^c \neq 0 \rightarrow$  estados  $qq\bar{q}$  or  $q\bar{q}\bar{q}$  no existen en la naturaleza



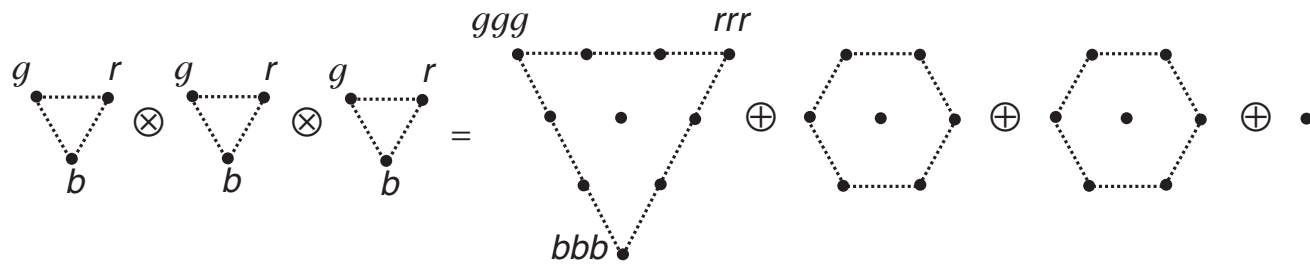
# Confinamiento de color

- Estado ligado  $qq$ :



Los estados ligados  $qq$  son objetos con color y por lo tanto no existen en la naturaleza.

- Si agregamos otro triplete:



Esta combinación da lugar a un singlete de Color:

$$\psi^c(qqq) = \frac{1}{\sqrt{6}}(rgb - rbg - gbr - grb + brg - bgr)$$

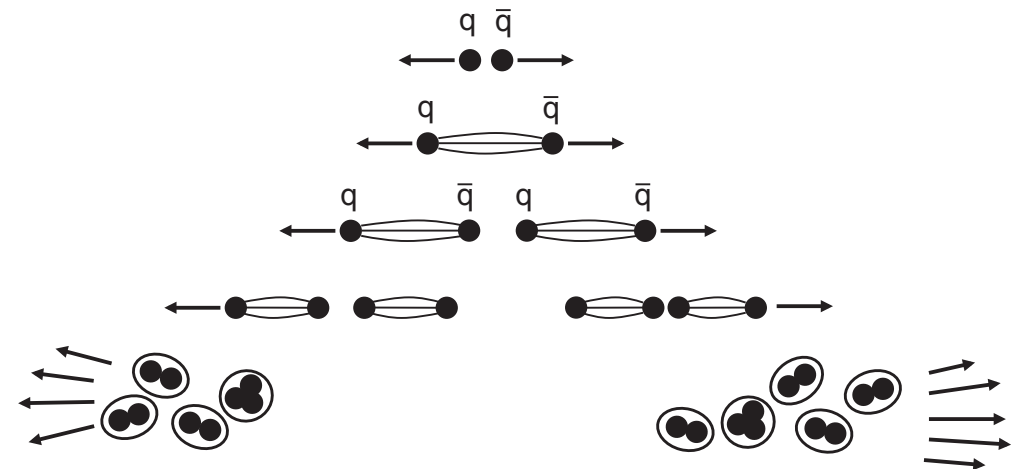
- Por lo tanto observamos en la naturaleza estados ligados  $qqq$ .
- La función de onda de color singlete es totalmente antisimétrica y como es el único estado singlete de color para tres quarks  $\rightarrow$  la función de onda de color de bariones es siempre antisimétrica!





## Hadronización y jets

- En procesos como  $ee \rightarrow qq$ , dos quarks inicialmente libres de alta energía son producidos y viajan en sentido contrario en el sistema de referencia centro de masa.
- Como consecuencia del confinamiento de color  $\rightarrow$  los quarks no se propagan libremente y son observados como jets (chorros) de partículas sin color.
- El proceso por el cual los quarks de alta energía producen jets se conoce como hadronización.



- Los quarks producidos en la interacción se separan a alta velocidad.
- El campo de color los restringe a un tubo con densidad de energía  $\sim 1\text{GeV}/\text{fm}$
- Mientras los quarks se separan, el campo de color es suficiente para proveer la energía necesaria para formar un par  $q\bar{q}$ .
- El proceso continúa y se forman más pares  $q\bar{q}$ .
- Todos los quarks y antiquarks tienen suficiente energía para combinarse y formar hadrones sin color.

El proceso de hadronización resulta en dos jets de hadrones, uno en la dirección del quark inicial y el otro en la dirección del antiquark inicial.



## Running de la constante de acoplamiento y libertad asintótica

- A escalas de baja energía la constante de acoplamiento de la QCD es grande,  $\alpha_S \sim O(1)$  -> la expansión perturbativa discutida en el contexto de la QED no converge rápidamente.
- Los procesos de QCD de baja energía no son calculables usando la teoría tradicional de perturbaciones -> existen técnicas computacionales **Lattice QCD** (muy demandantes computacionalmente hablando).
- Resulta que  $\alpha_S$  **no es constante** -> su valor depende de la escala de energías de interacción que está siendo considerada.
- A energías altas,  $\alpha_S$  se vuelve lo suficientemente pequeña para que podamos utilizar la teoría de perturbaciones.



## Running de la constante de acoplamiento y libertad asintótica

- En este sentido QCD se divide en:
  - un régimen no perturbativo a bajas energías, donde no es posible hacer cálculos de primeros principios (hadronización)
  - un régimen a altas energías donde la teoría de perturbaciones puede ser utilizada.
- El running de  $\alpha_s$  está relacionado al concepto de renormalización.

### Renormalización en QED

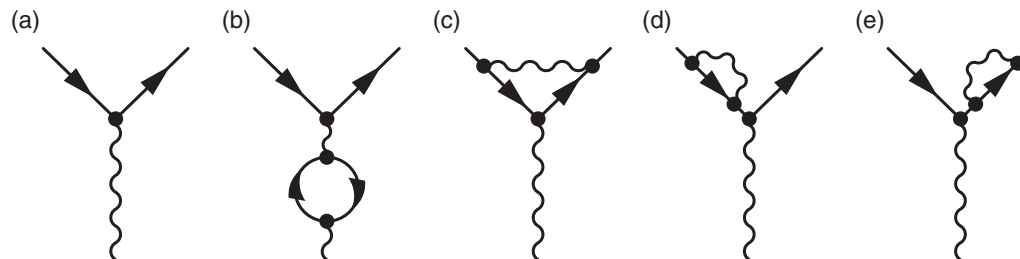
- La intensidad de la interacción entre un fotón y un electrón está determinada por el acoplamiento en el vértice de QED -> hasta aquí considerado constante y con valor  $e$ .
- El valor experimental medido de la carga del electrón  $e$ , que corresponde a  $\alpha \approx 1/137$  se obtiene de mediciones de intensidad del potencial estático de Coulomb en física atómica.



# Running de la constante de acoplamiento y libertad asintótica

## Renormalización en QED

- Esta no es la misma intensidad de acoplamiento entre un electrón y un fotón que aparecen en los diagramas de Feynman  $\rightarrow e_0$  ("carga del electrón desnudo").
- El valor de  $e$  medido es la intensidad efectiva de interacción que resulta de la suma de todas las contribuciones que provienen de los diagramas relevantes de QED de orden más alto.
- Hasta aquí, sólo las contribuciones de menor orden al acoplamiento electrón-fotón de QED se han considerado.
- Sin embargo, para cada vértice de QED en un diagrama de Feynman, hay un conjunto infinito de correcciones a orden más alto ( $o(e^2)$ ).

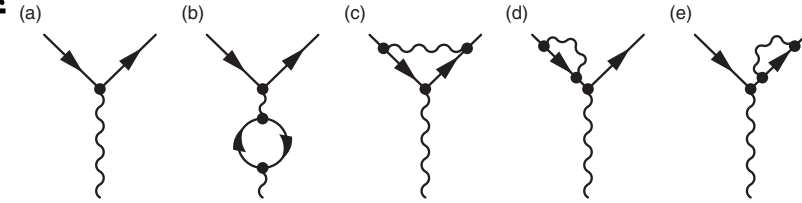


b) correcciones al propagador de fotones.  
c)-e) correcciones a la corriente del electrón



## Running de la constante de acoplamiento y libertad asintótica

### Renormalización en QED



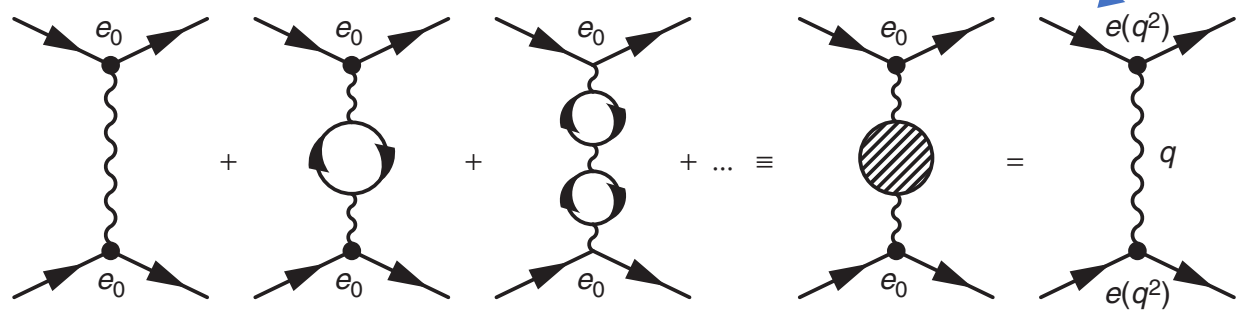
- Para cada diagrama de orden más alto se pueden aplicar las reglas de Feynman para escribir el elemento de matriz.
- Cada loop en los diagramas de Feynman es una integral en los 4 momentos de las partículas en el loop y esos diagramas conducen a divergencias (infinitos).
- Los infinitos asociados con las correcciones a las corrientes se cancelan entre sí.
- Los infinitos asociados al propagador del fotón (términos de auto-energía del fotón) pueden ser absorbidos en la definición de la carga del electrón.



# Running de la constante de acoplamiento y libertad asintótica

## Renormalización en QED

- La serie infinita de correcciones al propagador del fotón se tienen en cuenta al reemplazar el diagrama a orden más bajo por una serie infinita de diagramas de loops expresados en términos de  $e_0$ .
- Como resultado de las correcciones de loops, el propagador del fotón no tendrá mas la forma simple de  $1/q^2$ .
- Los efectos físicos de la modificación al propagador del fotón se tienen en cuenta si conservamos la dependencia  $1/q^2$  para el propagador efectivo y absorbemos las correcciones en la definición de la carga eléctrica, que ahora necesariamente depende de  $q^2$





# Running de la constante de acoplamiento y libertad asintótica

## Renormalización en QED

- Se puede mostrar que la constante de acoplamiento adquiere la forma:

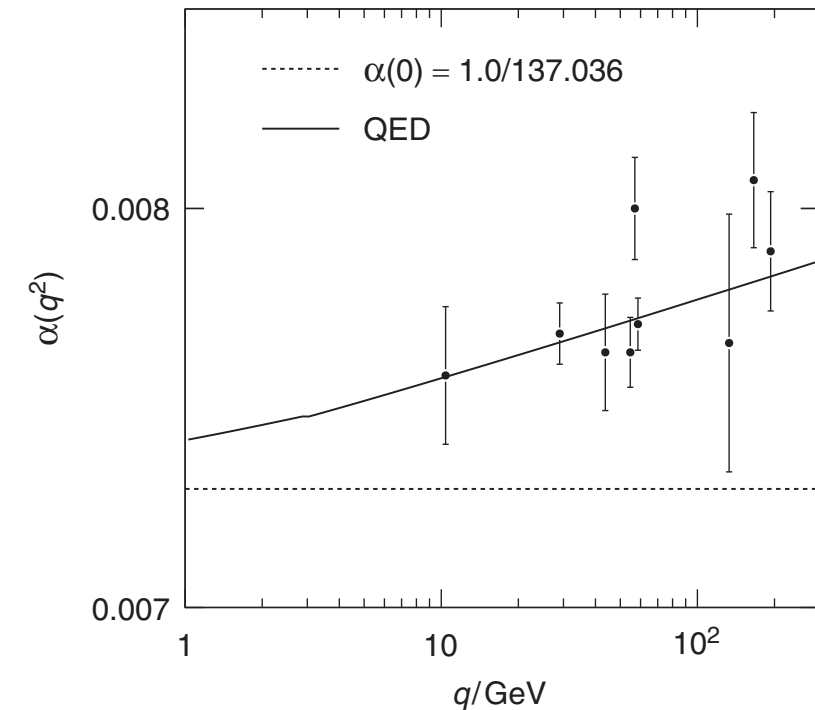
$$\alpha(q^2) = \frac{\alpha(q_0^2)}{1 - \alpha(q_0^2) \frac{1}{3\pi} \ln\left(\frac{q^2}{q_0^2}\right)}$$

- El signo menos implica que el acoplamiento de QED aumenta cuando aumenta  $q^2$ , pero su evolución es lenta.

- Mediciones de física atómica a  $q^2 \approx 0 \rightarrow \alpha(q^2 \approx 0) = \frac{1}{137.035}$

- Para una energía de cm 193 GeV  $\rightarrow \alpha = \frac{1}{124.4}$

Opal Collaboration  
Eur.Phys.J., C33, 173-212

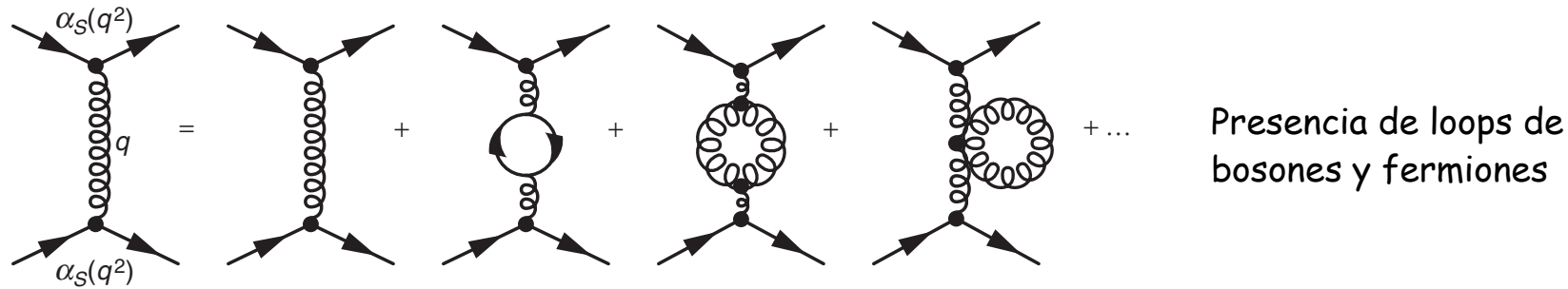




## Running de la constante de acoplamiento y libertad asintótica

### Renormalización en QCD

- La renormalización en QCD es similar a la de QED.
- Sin embargo debido a los términos de auto-interacción gluón-gluón -> hay diagramas adicionales

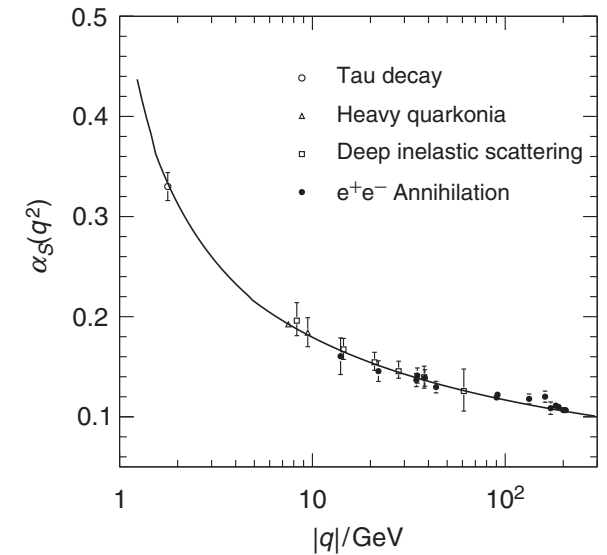


- Podemos escribir el acoplamiento para la interacción fuerte:

$$\alpha_S(q^2) = \frac{q_0^2}{1 + B\alpha_S(q_0^2)\ln\left(\frac{q^2}{q_0^2}\right)}$$

$$B = \frac{11N_c - 2N_f}{12\pi}$$

Para 3 colores y  $N_f \leq 6$  de quarks  
 $B \neq 0 \rightarrow \alpha_S$  decrece con  $q^2$







## Running de la constante de acoplamiento y libertad asintótica

### Libertad asintótica

- La intensidad del acoplamiento de QCD varía considerablemente en el rango de energías relevante para la física de partículas.
- A  $|q| \sim 1\text{GeV}$ ,  $\alpha_s$  es del orden de  $O(1)$  y la teoría de perturbaciones no se puede utilizar.
- Este régimen no perturbativo aplica a la discusión de estados hadrónicos ligados y los procesos de hadronización.
- A  $|q| > 100\text{GeV}$ , escala típica de los experimentos de colisión,  $\alpha_s \sim 0.1$ , lo cual es lo suficientemente pequeño como para poder usar la teoría de perturbaciones.
- Esta propiedad de la QCD se denomina **libertad asintótica**.
- Esta propiedad es la razón por la cual en la discusión de DIS a alto  $q^2$   $\rightarrow$  los quarks pueden ser tratados como cuasi-libres.
- Si bien podemos utilizar la teoría de perturbaciones,  $\alpha_s$  no es lo suficientemente pequeña como para despreciar las correcciones de órdenes más altos.



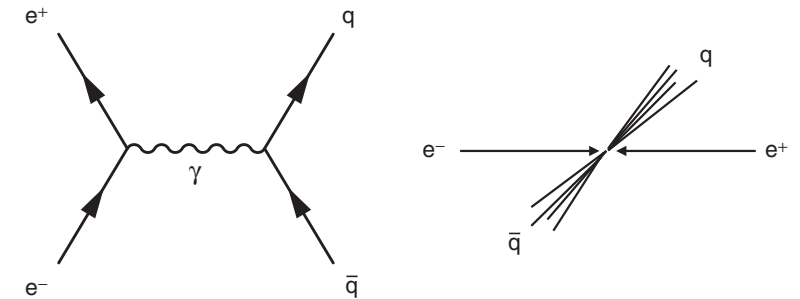
## QCD en la aniquilación electrón-positrón

- Gran número de propiedades de la QCD se puede estudiar en colisionadores de  $ee^+$  básicamente a través de la producción de pares  $q\bar{q}$ .

### Ventajas

- El proceso de QED de aniquilación  $ee^+$  es bien entendido y calculado con alta precisión.
- No hay incertezas asociadas a las pdfs.
- El estado final observado corresponde a la interacción subyacente importante.
- Asumiendo que los quarks son partículas de espín 1/2, sabemos que la dependencia angular de la sección eficaz diferencial para el proceso  $e^+e^- \rightarrow q\bar{q}$  es:

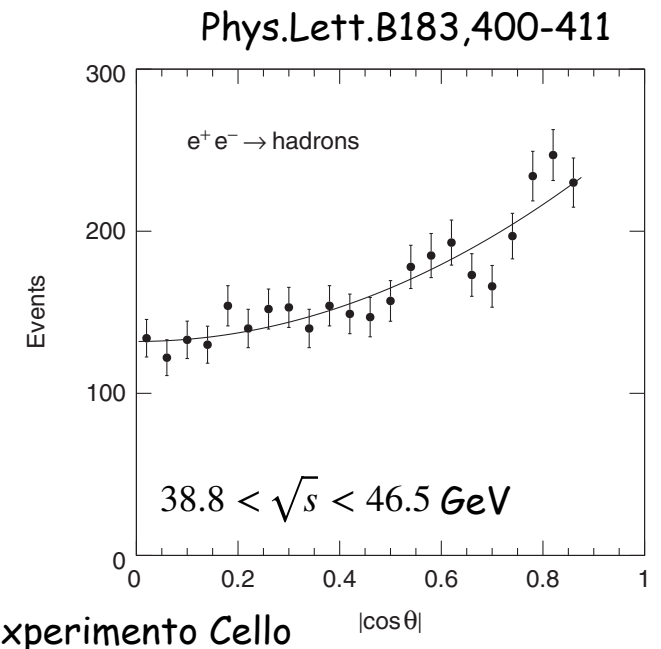
$$\frac{d\sigma}{d\Omega} \propto (1 + \cos^2 \theta)$$





## QCD en la aniquilación electrón-positrón

- Como  $q\bar{q}$  se hadronizarán en jets de hadrones  $\rightarrow$  no es posible identificar experimentalmente de que sabor de quark fue producido  $\rightarrow$  sección eficaz se expresa como una suma inclusiva sobre todos los sabores de quarks.
- No es posible identificar cuál jet proviene del quark y cuál del antiquark  $\rightarrow$  sección eficaz se expresa en términos de  $|\cos \theta|$
- Distribución angular de jets en el proceso  $e^+e^- \rightarrow \text{hadrons}$
- Consistente con la forma esperada:  $\frac{d\sigma}{d\Omega} \propto (1 + \cos^2 \theta)$
- Los quarks son partículas de espín 1/2





# QCD en la aniquilación electrón-positrón

• El color se conserva y las posibles combinaciones de color del estado final  $q\bar{q}$  se puede producir como  $g\bar{g}$ ,  $r\bar{r}$  o  $b\bar{b}$ .

• Para un sabor de quark y un color:  $\sigma(e^+e^- \rightarrow q_i\bar{q}_i) = \frac{4\pi\alpha^2}{3s} Q_q^2$

• Experimentalmente observamos jets de hadrones:  $\sigma(e^+e^- \rightarrow hadrones) = 3 \sum_{u,d,s,\dots} \frac{4\pi\alpha^2}{3s} Q_q^2$

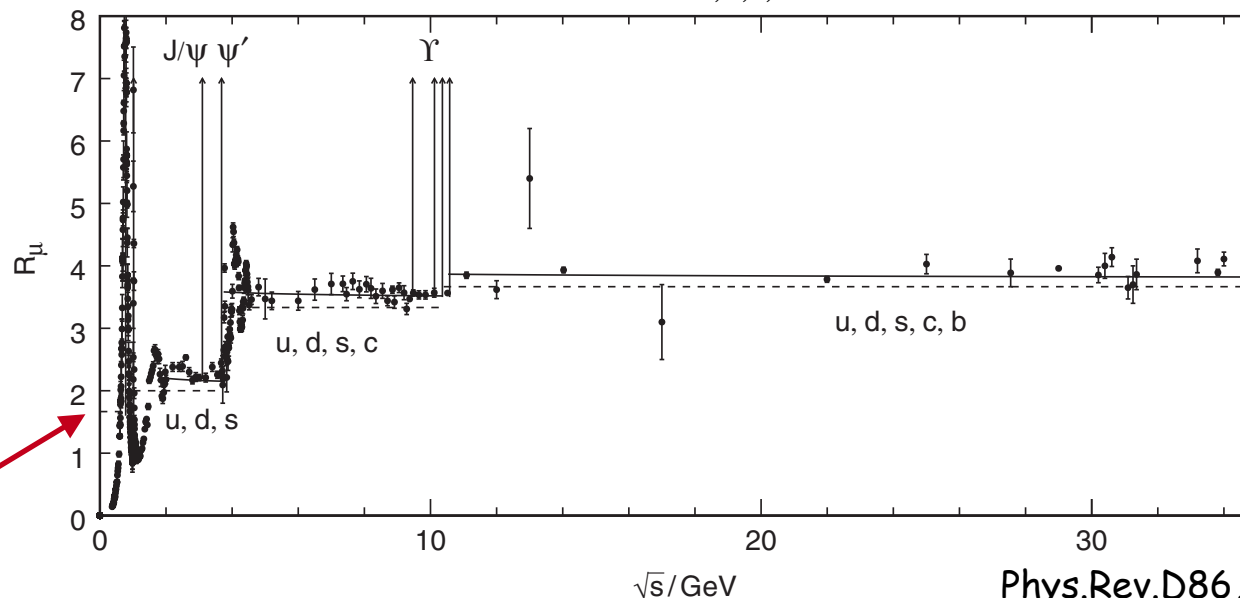
• Usualmente se mide el cociente:

$$R_\mu = \frac{\sigma(e^+e^- \rightarrow hadrones)}{\sigma(e^+e^- \rightarrow \mu + \mu^-)} = 3 \sum_{u,d,s,\dots} Q_q^2$$

Los datos son consistentes con el valor esperado teniendo en cuenta el factor 3 de color.

$$R_\mu = 3 \otimes (1/9 + 4/9 + 1/9) = 2$$

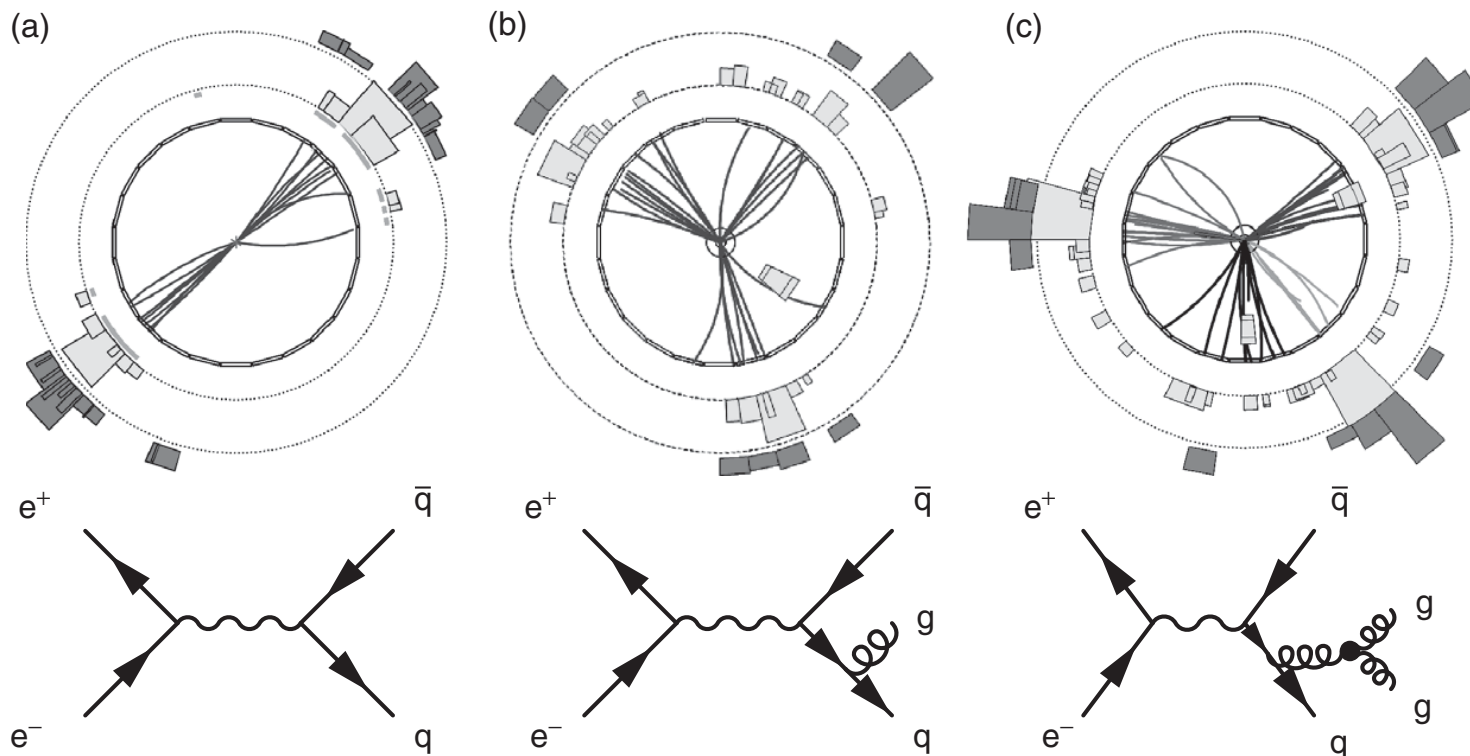
Viene de los colores





# QCD en la aniquilación electrón-positrón

- La producción de jets en colisiones electrón-positrón de alta energía provee una evidencia directa de la existencia de gluones.
- La mayoría de los eventos se producen con una topología de 2 jets.
- Existen eventos de 3 y 4 jets.
- $N_{3j}$  relativo a  $N_{2j}$  provee una de las mediciones de  $\alpha_S(q^2)$  más precisas.
- Las distribuciones angulares de 4 jets permiten distinguir entre una simetría SU(3) de color de otra simetría de gauge.

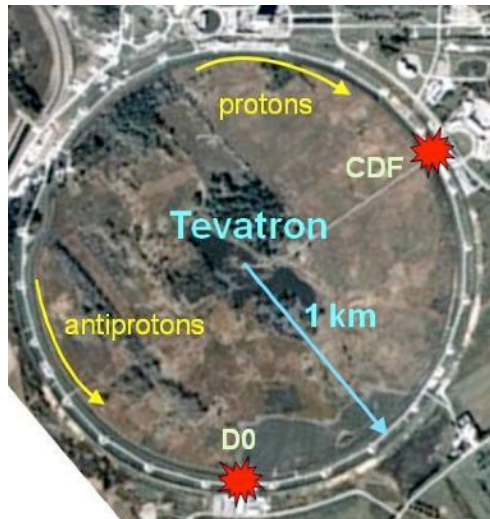


Colaboración OPAL de LEP



## Colisiones hadrón-hadrón

- Los colisionadores hadrónicos, protón-protón (LHC) o protón-antiprotón (Tevatron) permiten alcanzar energías de centro de masa mayores que las de un colisionador circular electrón-positrón.
- Son importantes para la búsqueda de nuevas partículas a escalas altas de masas.
- Los procesos subyacentes en colisiones hadrón-hadrón son las interacciones de dos partones, que pueden ser quarks, antiquarks o gluones.







## Colisiones hadrón-hadrón

### Cinemática de eventos de colisionadores hadrónicos

- En la **dispersión e-p elástica** -> una variable es suficiente para describir la cinemática -> ángulo de dispersión del electrón.
- En la **dispersión e-p inelástica** -> se requieren dos variables, por ejemplo  $Q^2$ ,  $x$
- En las **colisiones hadrón-hadrón** -> se necesitan 3 variables, por ejemplo  $Q^2$ ,  $x_1$ ,  $x_2$
- En estos experimentos, los partones dispersados se observan como jets : pp -> 2 jets + X -> los ángulos de los dos jets con respecto al eje del haz son cantidades que se miden precisamente.
- La sección eficaz suele describirse en términos de los ángulos de los dos jets y la componente del momento de uno de los jets en el plano transversal al eje del haz (momento transversal)

$$p_T = \sqrt{p_x^2 + p_y^2}$$

El eje z está definido en la dirección del haz



## Colisiones hadrón-hadrón

### Cinemática de eventos de colisionadores hadrónicos

- En colisionadores como el LHC, la colisión se realiza en el sistema de referencia centro de masa del sistema pp, que no es el sistema cm de los partones que interactúan.
- El momento neto longitudinal del sistema de partones que colisionan está dado por  $(x_1 - x_2)E_p$  -> en un proceso pp -> 2 jets + X -> el estado final de dos jets está corrido a lo largo de la dirección del haz.
- Los ángulos de los jets se expresan usualmente en términos de la rapidez  $y = \frac{1}{2} \ln\left(\frac{E + p_z}{E - p_z}\right)$
- La masa invariante del sistema de partículas que forman un jet se denomina masa del jet.
- Para jets de alta energía ->  $\text{jet}_{\text{mass}} \ll p_z \approx E \cos \theta$  ->  $y \approx \frac{1}{2} \ln(\cot^2 \frac{\theta}{2})$  -> utilizamos la pseudorapidez

$$\eta \equiv -\ln\left(\tan \frac{\theta}{2}\right)$$



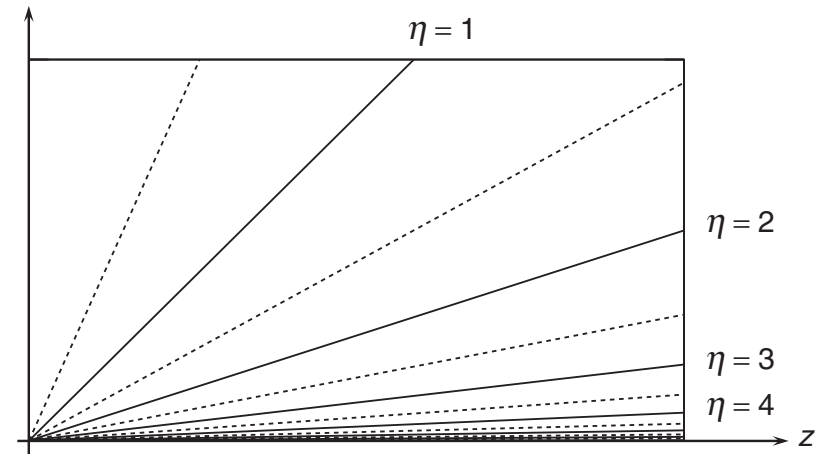


# Colisiones hadrón-hadrón

## Cinemática de eventos de colisionadores hadrónicos

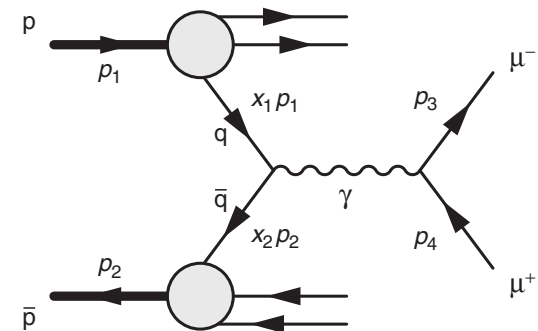
$$\eta \equiv -\ln\left(\tan\frac{\theta}{2}\right)$$

- La sección eficaz diferencial para la producción de jets en colisiones hadrón-hadrón es aproximadamente constante en  $\eta$  -> igual número de jets se observan en cada intervalo de  $\eta$ .



## Proceso de Drell-Yan

- Producción de un par de leptones en colisiones hadrón-hadrón proveniente de la aniquilación  $q\bar{q}$





# Colisiones hadrón-hadrón

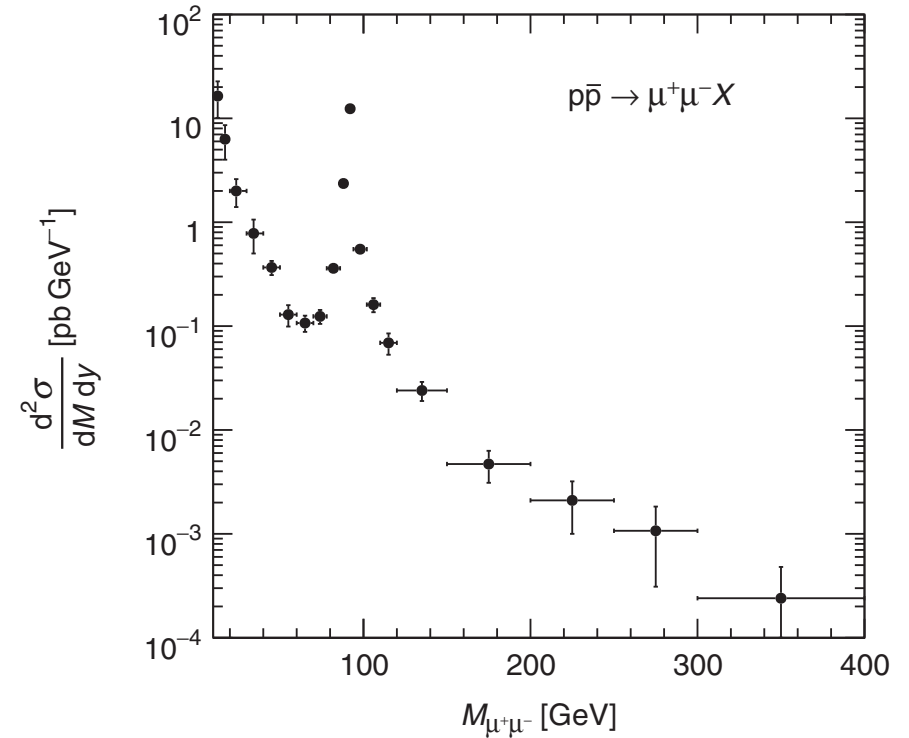
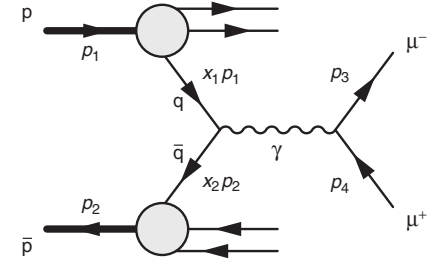
## Proceso de Drell-Yan

- La sección eficaz diferencial en términos de la masa invariante y la rapidez del sistema de muones es:

$$\frac{d^2\sigma}{dy dM} = \frac{8\pi\alpha^2}{9M_s} f(x_1, x_2)$$

$$f(x_1, x_2) = \left[ \frac{4}{9} \{u(x_1)u(x_2) + \bar{u}(x_1)\bar{u}(x_2)\} + \frac{1}{9} \{d(x_1)d(x_2) + \bar{d}(x_1)\bar{d}(x_2)\} \right]$$

- Sección eficaz de Drell-Yan medida por el experimento
- CDF de Tevatron.
- El fuerte aumento de la sección eficaz alrededor de 91 GeV corresponde a la producción resonante de un bosón Z en vez de un fotón.





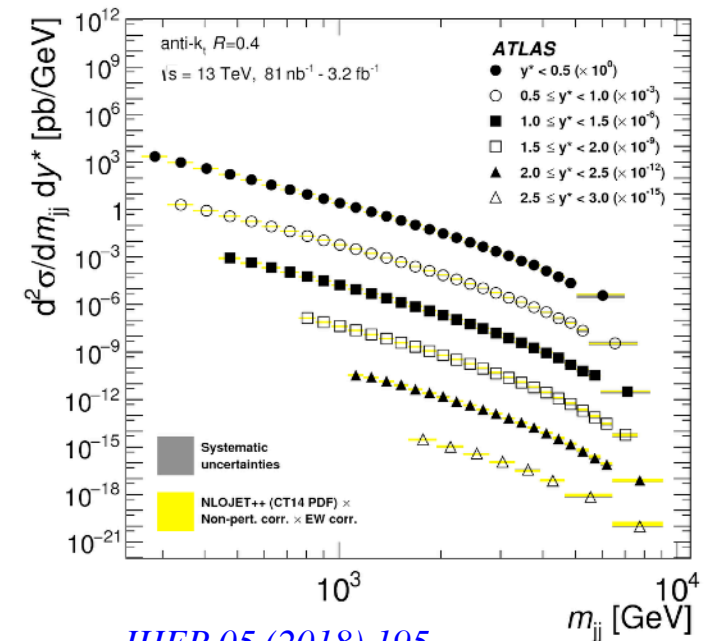
# Colisiones hadrón-hadrón

## Producción de jets en el LHC

- El LHC es el acelerador de más alta energía jamás construido. Es un colisionador de pp diseñado para llegar a una energía del cm de 14 TeV.
- En sus dos primeras corridas, ha recolectado gran cantidad de datos a una energía de centro de masa 7 TeV (Run 1) y 13 TeV (Run 2)
- El proceso más común de alta energía en el LHC es la producción de QCD de dos jets.

$$\frac{d^3\sigma}{dQ^2 dx_1 dx_2} = \frac{4\pi\alpha_S^2}{9Q^4} \left[ 1 + \left( 1 - \frac{Q^2}{sx_1x_2} \right)^2 \right] g(x_1, x_2)$$

$$g(x_1, x_2) = [u(x_1)u(x_2) + u(x_1)d(x_2) + d(x_1)u(x_2) + d(x_1)d(x_2)]$$



[JHEP 05 \(2018\) 195](#)



# Colisiones hadrón-hadrón

Producción de jets en el LHC

